

GATA-1/2对感染HCMV人单核细胞中 病毒LUNA基因转录的影响

郭彬瀚^{1, 2, 3} 张梦伊^{1, 2, 3} 刘艳清^{1, 2, 3} 赖媚媚^{1, 2, 3} 卢雨田^{1, 2, 3} 王慧燕^{1, 2} 郑晓群^{1, 2, 3*}

(¹温州医科大学附属第二医院, 温州 325027; ²温州医科大学检验医学院, 温州 325035;

³检验医学教育部重点实验室, 温州 325035)

摘要 该文通过建立人巨细胞病毒(human cytomegalovirus, HCMV)感染人单核白血病细胞(THP-1)的潜伏和激活细胞模型, 研究转录因子GATA-1/2与HCMV *LUNA*(latency unique nuclear antigen)基因转录的关系。采用免疫印迹(Western blot)技术检测HCMV潜伏和激活感染组GATA-1/2蛋白质水平; 染色质免疫共沉淀(chromatin immunoprecipitation, ChIP)技术检测GATA-1/2与*LUNA*基因5'上游序列结合情况; 采用shRNA干扰技术敲低THP-1细胞中GATA-1/2的表达后, 检测潜伏和激活感染组HCMV *LUNA*基因mRNA水平。结果表明, HCMV潜伏感染组*LUNA*基因mRNA及GATA-1/2蛋白质水平均高于激活感染组, 差异有显著统计学意义($P<0.01$); HCMV潜伏感染组转录因子GATA-1/2与*LUNA*基因5'启动子区域结合率低于激活感染组, 差异有显著统计学意义($P<0.01$); shRNA干扰技术敲低THP-1细胞GATA-1/2后, HCMV *LUNA*基因mRNA水平出现下调。研究结果表明, 转录因子GATA-1/2在HCMV潜伏和激活感染THP-1细胞时与*LUNA*基因5'上游启动子区域存在结合, 并与*LUNA*基因的表达有关。

关键词 HCMV; *LUNA*; GATA-1/2; 转录因子; 感染

Effects of GATA-1/2 on the Transcription of *LUNA* Gene in Human Monocytes Infected with HCMV

Guo Binhan^{1,2,3}, Zhang Mengyi^{1,2,3}, Liu Yanqing^{1,2,3}, Lai Meimei^{1,2,3}, Lu Yutian^{1,2,3},
Wang Huiyan^{1,2}, Zheng Xiaoqun^{1,2,3*}

(¹The Second Affiliated Hospital of Wenzhou Medical University, Wenzhou 325027, China;

²School of Laboratory Medical Science, Wenzhou Medical University, Wenzhou 325035, China;

³The Key Laboratory of Laboratory Medicine, Ministry of Education of China, Wenzhou 325035, China)

Abstract This study investigated the relationship between transcription factor GATA-1/2 and human cytomegalovirus (HCMV) latency unique nuclear antigen (*LUNA*) gene using established HCMV latent and activated infection models. The protein level of GATA-1/2 was determined by Western blot. The binding of GATA-1/2 with 5' upstream sequence of *LUNA* gene was assessed by chromatin immunoprecipitation (ChIP). Moreover, the level of *LUNA* mRNA was detected by RT-PCR after GATA-1/2 was interfered. The results showed that the expression of *LUNA* gene and GATA-1/2 in latent infection group were both higher than activated infection group,

收稿日期: 2017-09-21 接受日期: 2017-11-09

浙江省自然科学基金(批准号: LY13H190006)和浙江省医药卫生项目(批准号: 2017KY474)资助的课题

*通讯作者。Tel: 0577-86699196, E-mail: jszhengxq@163.com

Received: September 21, 2017 Accepted: November 9, 2017

This work was supported by the Natural Science Foundation of Zhejiang Province (Grant No.LY13H190006) and the Medical and Health Issues Project of Zhejiang Province (Grant No.2017KY474)

*Corresponding author. Tel: +86-577-86699196, E-mail: jszhengxq@163.com

网络出版时间: 2018-01-31 18:12:47 URL: <http://kns.cnki.net/kcms/detail/31.2035.Q.20180131.1812.004.html>

and the differences were statistically significant ($P<0.01$). The binding rate of transcription factor GATA-1/2 with 5' terminal of promoter of *LUNA* gene in latent infection group was lower than that of activated infection group, and the difference was statistically significant ($P<0.01$). The expression of *LUNA* gene were both downregulated in HCMV latent and activated infection group after GATA-1/2 was interfered. Our results indicated that the transcription factor GATA-1/2 is involved in the presence of *LUNA* 5' upstream promoter region in HCMV latent and activated infection, and participates in the process of HCMV latent and activated infection.

Keywords HCMV; *LUNA*; GATA-1/2; transcription factor; infection

人巨细胞病毒(human cytomegalovirus, HCMV)是一类人群普遍感染的疱疹病毒。HCMV感染宿主后, 常通过多种途径逃避宿主的免疫监视及防御功能, 并在宿主体内建立长期潜伏感染。当宿主免疫功能不全或低下时, 潜伏感染的病毒被激活, 易引起播散性疾病或器官损害, 甚至威胁生命^[1-2]。因此, 及早发现HCMV感染对其预防及治疗至关重要。尽管目前关于HCMV感染的研究已取得了较大进展, 但迄今为止, HCMV潜伏和激活感染的分子机制仍不明确。

既往研究证实, HCMV潜伏感染时, 病毒基因虽以低水平复制的形式持续存在, 但是一些病毒基因(如病毒*LUNA*基因、*UL111A*和*UL138*等^[3-4])仍然是转录的, 与病毒的复制、感染有着密不可分的关系。其中, 病毒*LUNA*基因通过影响病毒基因*UL82* mRNA的稳定性与翻译, 进而介导病毒被膜蛋白pp71的合成来调控HCMV的潜伏和激活感染^[5-6]。转录因子GATA-1/2是造血细胞分化的重要调节因子, 含2个锌指结构, 即C-锌指和N-锌指, 可通过与基因启动子中(A/T)GATA(A/G)模块结合影响基因的转录^[7]。经生物信息学分析表明, 在HCMV *LUNA*基因的启动子区交错分布着转录因子GATA-1/2的结合位点。本文通过建立HCMV潜伏和激活感染的THP-1细胞模型, 明确GATA-1/2与*LUNA*基因启动子区的结合情况, 探讨HCMV潜伏与激活感染时GATA-1/2对*LUNA*基因转录的影响。

1 材料与方法

1.1 细胞株与病毒株

HCMV Towne株来自中国典型培养物保藏中心, THP-1细胞(人单核白血病细胞)以及293T细胞(人胚肾T细胞)购自中国科学院上海细胞库, HEL细胞(人胚肺成纤维细胞)购自中国科学院昆明动物研究所。

1.2 主要试剂

佛波酯(PMA)以及细胞总蛋白提取试剂盒购自碧云天生物技术研究所。Trizol提取试剂购自Invitrogen公司。miRNeasy Mini Kit购自QIAGEN公司。SYBR Premix Ex Taq购自TaKaRa公司。RevertAid First Strand cDNA Synthesis Kit试剂盒购自Thermo Fisher Scientific公司。GATA-1/2兔抗人抗体购自Abcam公司。PCR引物由生工生物工程(上海)股份有限公司合成。ChIP试剂盒购自Millipore公司。Trans10感受态细胞购自北京全式金生物技术有限公司。VSVG质粒购自上海吉然生物科技有限公司。RNAi-Ready pSIREN-RetroQ质粒购自Clontech公司。Gagpol质粒购自Biovector公司。Polybrene购自上海吉玛制药技术有限公司。质粒DNA小量试剂盒购自AxyPrep公司。无内毒素质粒大提试剂盒购自北京天根生化科技有限公司。

1.3 主要方法

1.3.1 HCMV潜伏和激活感染细胞模型建立 THP-1细胞的培养以及HCMV病毒制备参照我们先前的研究^[8]。HCMV Towne株(MOI=3)感染THP-1细胞, 于37 °C、5% CO₂恒温培养箱中培养3 d后建立潜伏感染模型。100 ng/mL佛波酯(PMA)刺激HCMV潜伏感染的THP-1细胞分化为巨噬细胞, 于37 °C、5% CO₂恒温培养箱培养3 d后建立激活感染模型。对照组加入与病毒液等量的RPMI-1640培养液, 同条件培养。

1.3.2 HCMV潜伏和激活感染组 *IE1*(immediate early 1)以及*LUNA*基因表达的检测使用QIAGEN公司的miRNeasy Mini Kit试剂盒, 分别提取HCMV潜伏和激活感染组的细胞总RNA并测定浓度及纯度。取1 μg总RNA, 按照Thermo Fisher Scientific公司RevertAid First Strand cDNA Synthesis Kit试剂盒说明书进行操作, 逆转录为cDNA。应用Primer Premier 5.0软件设计*IE1*、*LUNA*基因以及内参基因*GAPDH*的PCR引物, 上述得到cDNA进行PCR扩增

所得产物用2%的琼脂糖凝胶进行电泳分析。使用ImageJ软件对电泳条带进行灰度分析, 目的基因灰度值与内参基因灰度值之比表示IE1以及LUNA基因的相对表达量。所用PCR引物序列见表1。

1.3.3 Western blot检测转录因子GATA-1/2蛋白水平 利用细胞总蛋白提取试剂盒提取对照组、HCMV潜伏和激活感染组细胞总蛋白。将提取的蛋白质样品与5×蛋白质上样缓冲液按4:1的比例混匀, 100 °C加热变性10 min, 调节蛋白质浓度一致, 然后进行聚丙烯酰胺凝胶电泳。用事先活化的硝酸纤维素膜(nitrocellulose filter membrane)在恒流300 mA条件下转膜60 min, 5%脱脂奶粉封闭2 h, 分别用相应的GATA-1(1:1 000)、GATA-2(1:1 000)、GAPDH(1:5 000)一抗于4 °C条件下孵育过夜。TBST洗膜后, 于HRP标记的羊抗兔IgG二抗室温孵育1 h, ECL发光试剂盒显影。使用ImageJ软件对蛋白条带进行灰度分析, 目的条带灰度值与内参蛋白质灰度值之比表示转录因子GATA-1/2的相对表达量。

1.3.4 ChIP检测HCMV潜伏和激活感染组GATA-1/2与LUNA基因的结合 对HCMV LUNA基因5'端上游约1 Kb的核酸序列进行生物信息学分析, 应用TRANSFAC数据库中MATCH工具对分析序列的转录因子结合位点进行预测。该数据库通过每个位点的所得分数(0~1)来确定转录因子结合位点。经过

筛选, 我们确定HCMV LUNA基因5'上游序列831位点和172位点分别与GATA-1、GATA-2存在结合, 并进行后续ChIP-PCR引物设计。使用Millipore公司的EZ-ChIP Kit处理对照组、HCMV潜伏和激活感染组细胞。根据试剂盒说明书进行染色质免疫共沉淀, 操作步骤如下: 加入37%甲醛体外交联和裂解细胞DNA, 超声处理(功率500 W, 超声7 s, 停10 s, 重复3次)DNA, 使交联的DNA/蛋白质共沉淀, 洗脱DNA/蛋白质复合物, 解交联, 纯化DNA。将各组得到的DNA产物分别加入对应的引物进行PCR扩增, 扩增产物用2%的琼脂糖凝胶进行电泳分析。电泳结果使用ImageJ软件进行灰度分析, 并以抗体处理组与Input自身对照组的电泳结果灰度值之比表示GATA-1/2与LUNA基因的结合率。

1.3.5 shRNA干扰对HCMV LUNA基因转录的影响

根据文献[9]设计了针对GATA-1/2基因分别有干扰作用的shRNA序列(表2); 将退火双链小片段与RNAi-Ready pSIREN-RetroQ载体连接后导入感受态细胞, 筛选阳性菌落并抽提质粒DNA送至杭州擎科生物公司测序。待插入序列鉴定正确后, 在293T细胞[(4~6)×10⁶/10 cm²培养皿]中构建慢病毒并收集用于转染THP-1, polybrene(10 mg/mL)转染操作按照说明书进行, 补齐培养液后于37 °C、5% CO₂恒温培养箱中培养2 d后, 先后使用1.0 μg/mL、1.5 μg/mL

表1 HCMV IE1、LUNA以及GAPDH引物
Table 1 The primers of HCMV IE1, LUNA and GAPDH

引物名称 Primer name	引物序列(5'→3') The sequence of primer (5'→3')	产物大小 The length of product
IE1 F	CAA GAG AAA GAT GGA CCC TG	242 bp
IE1 R	CGA GTT CTG CCA GGA CAT C	
GAPDH F	GAG TCA ACG GAT TTG GTC GT	185 bp
GAPDH R	GAG TCA ACG GAT TTG GTC GT	
LUNA F	GAG CCT TGA CGA CTT GGT AC	241 bp
LUNA R	GAG CCT TGA CGA CTT GGT AC	

表2 合成的shRNA对应的DNA序列
Table 2 Synthesized DNA sequence correlated to shRNA

shRNA名称 shRNA name	shRNA序列(5'→3') The sequence of shRNA (5'→3')
sh-GATA1 F	GAT CCA GCG CCT GAT TGT CAG TAA ACT TCA AGA GAG TTT ACT GAC AAT CAG GCG CTT TTT TG
sh-GATA1 R	AAT CCA AAA AAA GCG CCT GAT TGT CAG TAA ACT CTC TTG AAG TTT ACT GAC AAT CAG GCG CTG
sh-GATA2 F	GAT CCG AAC CGG AAG ATG TCC AAC AAT TCA AGA GAT TGT TGG ACA TCT TCC GGT TCT TTT TTG
sh-GATA2 R	AAT CCA AAA AAG AAC CGG AAG ATG TCC AAC AAT CTC TTG AAT TGT TGG ACA TCT TCC GGT TCG

puromycin筛选阳性转染的细胞。经过两次筛选存活下来的细胞进行扩大培养，待其状态良好后使用HCMV感染建立潜伏和激活模型，提取细胞总RNA后，RT-PCR检测HCMV *LUNA*基因的表达情况。

1.4 统计学分析

数据采用SPSS 18.0统计学软件进行分析，数据用均数±标准差(mean±S.D.)表示，两组间比较采用t检验，多组间比较用单因素方差分析(One-Way ANOVA)， $P<0.05$ 为差异有统计学意义。

2 结果

2.1 HCMV潜伏和激活感染组*IE1*、*LUNA*基因的表达水平

为证明成功建立HCMV潜伏和激活感染细胞模型，我们使用RT-PCR实验分别检测了HCMV *IE1*和*LUNA*基因的表达。HCMV潜伏感染组在1 d时*IE1*基因有表达，随后逐渐降低或不表达；HCMV激活感染组在1 d时*IE1*基因有表达，随后表达逐渐增加。HCMV潜伏感染组在1~3 d时*LUNA*基因持续表达；HCMV激活感染组在1 d后*LUNA* mRNA水平

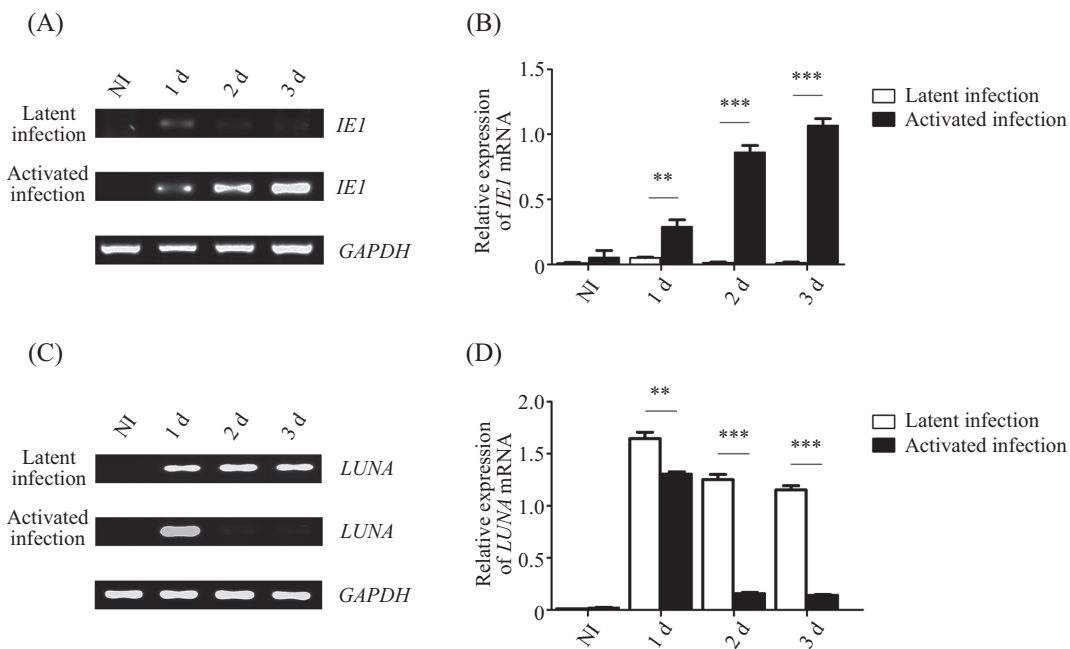
下降。上述实验结果表明，HCMV潜伏感染组*IE1*、*LUNA* mRNA水平与激活感染组存在显著的统计学差异($P<0.01$, 图1)。

2.2 HCMV潜伏和激活感染组转录因子GATA-1/2蛋白质水平的变化

为了解HCMV潜伏和激活感染组GATA-1/2蛋白质水平的差异，我们通过Western blot实验发现，HCMV潜伏感染组GATA-1在1~3 d持续表达；HCMV激活感染组GATA-1在1 d后表达明显下降。结果还显示，HCMV潜伏感染组GATA-1的表达明显高于激活感染组，差异具有显著统计学意义($P<0.01$, 图2)。同等实验条件下，HCMV潜伏感染组在1 d后GATA-2水平下降，低于对照组；HCMV激活感染组在1~3 d GATA-2水平与对照组差异不大。结果表明，HCMV潜伏感染组GATA-2的水平高于激活感染组，差异具有统计学意义($P<0.05$, 图3)。

2.3 HCMV潜伏和激活感染组GATA-1/2与*LUNA*基因5'上游序列结合情况

基于ChIP实验我们发现，GATA-1与HCMV *LUNA*基因5'上游序列831位点存在结合，HCMV潜伏感染

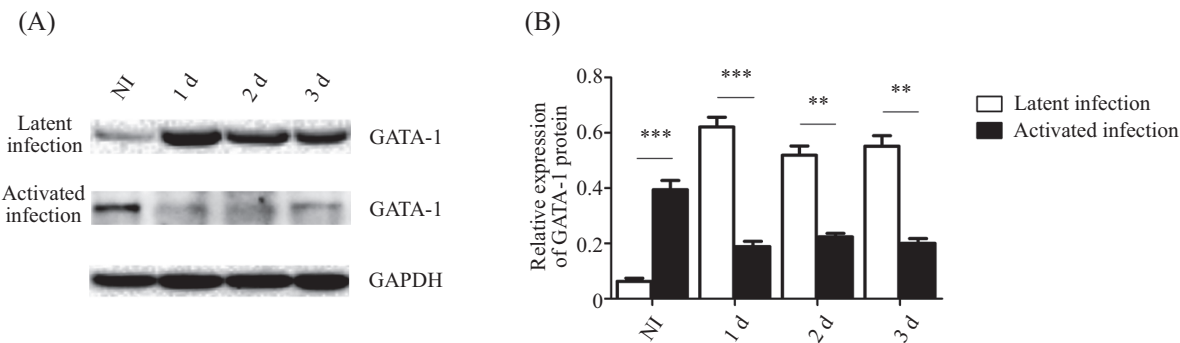


A: *IE1* mRNA水平; B: *IE1* mRNA相对水平的统计分析; C: *LUNA* mRNA水平; D: *LUNA* mRNA相对水平的统计分析。Ni: 对照组; Latent infection: HCMV潜伏感染组; Activated infection: HCMV激活感染组。Mean±S.D., $n=3$ 。** $P<0.01$, *** $P<0.001$, HCMV潜伏感染组与HCMV激活感染组相比较。

A: the level of *IE1* mRNA; B: the statistical analysis of relative level of *IE1* mRNA; C: the level of *LUNA* mRNA; D: the statistical analysis of relative level of *LUNA* mRNA. Ni: control group; Latent infection: HCMV latent infection group; Activated infection: HCMV activated infection group. Mean±S.D., $n=3$. ** $P<0.01$, *** $P<0.001$, latent infection group vs activated infection group.

图1 HCMV潜伏和激活感染THP-1细胞时*IE1*、*LUNA*基因的表达

Fig.1 The expression of HCMV *IE1* and *LUNA* genes in HCMV latent and activated infection

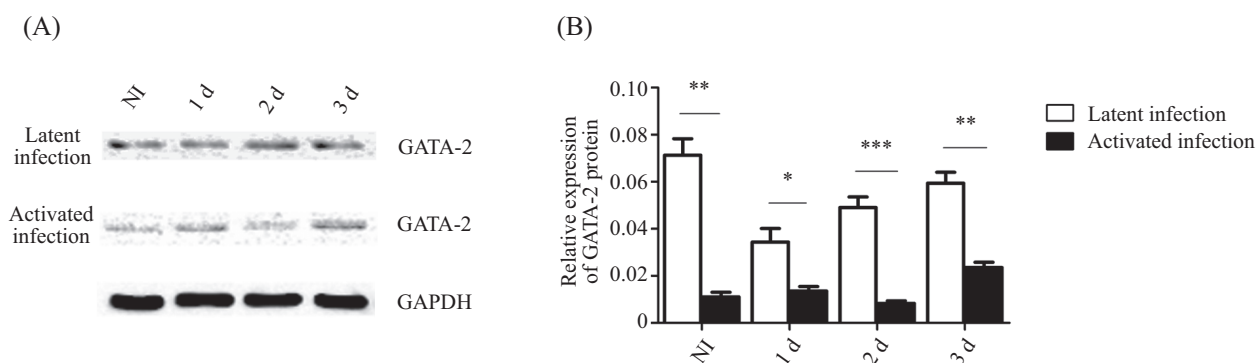


A: GATA-1蛋白质水平; B: GATA-1蛋白质相对水平的统计分析。NI: 对照组; Latent infection: HCMV潜伏感染组; Activated infection: HCMV激活感染组。Mean±S.D., n=3. **P<0.01, ***P<0.001, HCMV潜伏感染组与HCMV激活感染组相比较。

A: the level of GATA-1 protein; B: the statistical analysis of relative level of GATA-1 protein. NI: control group; Latent infection: HCMV latent infection group; Activated infection: HCMV activated infection group. Mean±S.D., n=3. **P<0.01, ***P<0.001, latent infection group vs activated infection group.

图2 HCMV潜伏和激活感染THP-1细胞时转录因子GATA-1蛋白质水平

Fig.2 The protein level of transcription factor GATA-1 in HCMV latent and activated infection



A: GATA-2蛋白质水平; B: GATA-2蛋白质相对水平的统计分析。NI: 对照组; Latent infection: HCMV潜伏感染组; Activated infection: HCMV激活感染组。Mean±S.D., n=3. *P<0.05, **P<0.01, ***P<0.001, HCMV潜伏感染组与HCMV激活感染组相比较。

A: the level of GATA-2 protein; B: the statistical analysis of relative level of GATA-2 protein. NI: control group; Latent infection: HCMV latent infection group; Activated infection: HCMV activated infection group. Mean±S.D., n=3. *P<0.05, **P<0.01, ***P<0.001, latent infection group vs activated infection group.

图3 HCMV潜伏和激活感染THP-1细胞时转录因子GATA-2蛋白质水平

Fig.3 The protein level of transcription factor GATA-2 in HCMV latent and activated infection

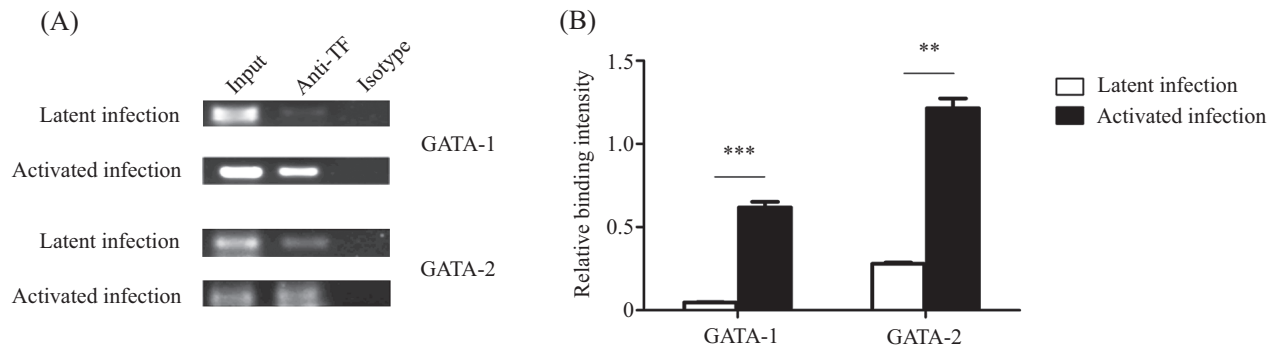
组GATA-1与HCMV LUNA基因启动子区的结合率较激活感染组低, 差异具有显著统计学意义($P<0.001$, 图4); GATA-2与HCMV LUNA基因5'上游序列172位点存在结合, HCMV潜伏感染组GATA-2与HCMV LUNA基因启动子区的结合率较激活感染组低, 差异具有显著统计学意义($P<0.01$, 图4)。

2.4 shRNA干扰GATA-1/2后HCMV LUNA基因的表达

采用shRNA分别靶向干扰GATA-1和GATA-2后, 实验组GATA-1/2的表达明显低于阴性对照组, 差异具有显著统计学意义($P<0.01$, 图5)。HCMV潜伏和激活感染GATA-1/2干扰后THP-1细胞时, LUNA mRNA水平在感染3 d内明显降低(图6)。

3 讨论

HCMV感染具有潜伏-激活的特性, 单核细胞和髓系祖细胞是HCMV潜伏感染的主要宿主细胞^[10]。HCMV潜伏感染时, 可编码一些称为巨细胞病毒潜伏相关转录组(cytomegalovirus latent association transcripts, CLTs)的基因^[11-12]。这些CLTs可能是维持病毒潜伏感染所必需的, 其中, LUNA是UL81基因编码的由133个氨基酸组成的富含丝氨酸的蛋白质, 与HCMV潜伏感染密切相关, 但其在HCMV潜伏感染中的具体作用机制尚未明确^[6]。研究发现, 在HCMV血清学阳性的单核细胞中可检测到LUNA基因的表达, 表明HCMV在潜伏感染单核细胞过程中, 存在病毒LUNA基因的表达^[6,13]。本研究结果同样表明了

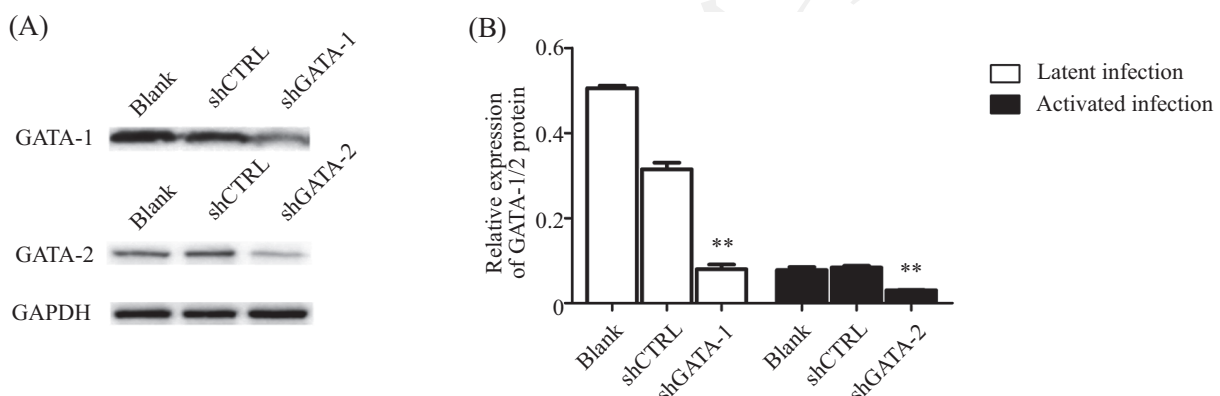


A: HCMV潜伏和激活感染组ChIP实验后PCR产物电泳结果; B: HCMV潜伏和激活感染组GATA-1/2相对结合程度的统计分析。Input: 阴性对照组; Anti-TF: 抗体处理组; Isotype: 同型对照组。Mean±S.D., n=3。**P<0.01, ***P<0.001, HCMV潜伏感染组与HCMV激活感染组相比较。

A: PCR product electrophoresis of HCMV latent and activated infection after ChIP; B: the statistical analysis of relative binding intensity of GATA-1/2 in latent and activated infection. Input: negative control group; Anti-TF: antibody treatment group; Isotype: isotype control group. mean±S.D., n=3. **P<0.01, ***P<0.001, latent infection group vs activated infection group.

图4 HCMV潜伏和激活感染时转录因子GATA-1/2与LUNA基因结合的ChIP结果

Fig.4 HCMV LUNA binding with transcription factor GATA-1/2 in latent and activated infection detected by ChIP

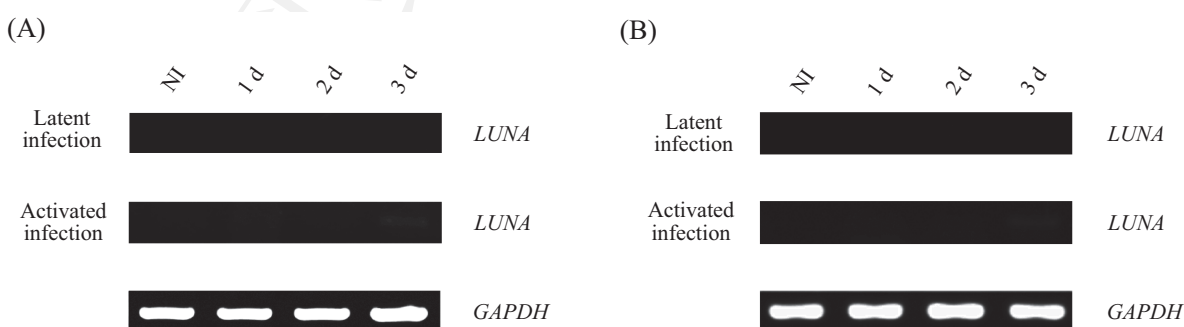


A: GATA-1/2蛋白水平; B: GATA-1/2蛋白相对水平的统计分析。Blank: 空白对照组; shCTRL: 阴性对照组; shGATA-1: GATA-1 shRNA干扰组; shGATA-2: GATA-2 shRNA干扰组。Mean±S.D., n=3。**P<0.01, 与阴性对照组相比较。

A: the level of GATA-1/2 protein; B: the statistical analysis of relative level of GATA-1/2 protein. Blank: blank control group; shCTRL: negative control group; shGATA-1: GATA-1 shRNA group; shGATA-2: GATA-2 shRNA group. Mean±S.D., n=3. **P<0.01 vs negative control shRNA group.

图5 GATA-1/2敲低THP-1细胞株构建

Fig.5 The construction of GATA-1/2 knockdown THP-1 cell line



A: GATA-1 shRNA干扰THP-1细胞后LUNA mRNA水平; B: GATA-2 shRNA干扰THP-1细胞后LUNA mRNA水平。NI: 对照组; Latent infection: HCMV潜伏感染组; Activated infection: HCMV激活感染组。

A: the level of LUNA mRNA in THP-1 treated with GATA-1 shRNA; B: the level of LUNA mRNA in THP-1 treated with GATA-2 shRNA. NI: control group; Latent infection: HCMV latent infection group; Activated infection: HCMV activated infection group.

图6 HCMV潜伏和激活感染GATA-1/2干扰后THP-1细胞时LUNA基因的表达

Fig.6 The expression of HCMV LUNA gene in GATA-1/2 knockdown THP-1 cells in latent and activated infection

HCMV *LUNA*基因在两种感染状态下的表达差异, 即HCMV潜伏感染时*LUNA*基因表达, 而在激活感染时基本不表达。

HCMV感染髓系祖细胞后, 随着其分化为巨噬细胞或树突状细胞, 病毒的早期基因表达就会被激活, HCMV可由潜伏感染向激活感染转化, 同时产生具有感染性的子代病毒^[14-15]。HCMV潜伏感染细胞时, 病毒CLTs的表达直接受到细胞一些转录调控因子的影响, 例如核因子-κB(nuclear factor-κB, NF-κB)、cAMP反应元件结合蛋白(cAMP-response element binding protein, CREB)和GATA-1/2等^[16]。Reeves等^[17]研究发现, HCMV感染髓系CD34⁺细胞时, 病毒*LUNA*基因的表达会受到细胞分化的影响。这主要是由于细胞分化过程中, 病毒*LUNA*基因启动子区受到乙酰化组蛋白以及甲基化酶的调控, 随后转录因子GATA-2与病毒*LUNA*基因启动子结合, 通过改变染色质结构影响*LUNA*基因的表达^[17]。我们先前的研究亦证实, 转录因子GATA-1可以与*UL111A*基因结合进而调控其表达, 参与HCMV潜伏和激活感染过程^[8]。*LUNA*基因已被证实是HCMV潜伏相关基因, 本研究结果表明, HCMV潜伏和激活感染组转录因子GATA-1/2的表达与*LUNA*基因表达相关, GATA-1/2可影响病毒基因*LUNA*的转录。Emma等^[18]研究证实, 在HCMV TB40E/Merlin病毒株潜伏感染髓系CD34⁺细胞时, 转录因子GATA-2可与*LUNA*基因启动子区域发生结合, 在乙酰化组蛋白作用下对*LUNA*基因的表达进行调控。本研究在HCMV感染的细胞模型中, 进一步证实转录因子GATA-1/2通过与*LUNA*基因5'上游序列结合影响*LUNA*基因的转录, 参与HCMV潜伏与激活过程。

shRNA干扰技术可以特异性剔除或关闭特定基因的表达, 我们利用该技术干扰转录因子GATA-1/2后, 分析病毒*LUNA*基因的表达。以慢病毒为载体的shRNA干扰技术, 通过扩增的方式使转染成功的细胞基因组中永久包含shRNA表达框并能稳定表达shRNA, 产生较久的基因沉默效应。本文研究结果显示, 干扰THP-1细胞GATA-1/2后, 病毒*LUNA*基因的表达受到影响, 这进一步证明转录因子GATA-1/2的表达与病毒*LUNA*基因的表达相关。综合上述结果, 我们认为, GATA-1/2对HCMV潜伏和激活感染组*LUNA*基因的表达发挥着调控作用, 且潜伏感染组调控作用更为明显, 这可能是由于潜伏感染时

GATA-1/2蛋白表达量较高。在病毒潜伏感染过程中, HCMV基因的表达增加, 可能有其他病毒产物影响了细胞转录因子的产生。Poole等^[19-20]的研究也认为, 在HCMV潜伏感染髓系CD34⁺细胞时, 病毒产生的miRNA可以引发胞内转录因子GATA-2表达上调, 从而维持病毒在细胞内的潜伏感染, 而在HCMV激活感染中并无此现象。

本研究结果证实, GATA-1/2与*LUNA*基因启动子区结合, 初步阐明GATA-1/2通过影响病毒*LUNA*基因的转录参与HCMV潜伏和激活感染, 为明确HCMV感染的分子机制提供实验依据。但由于HCMV潜伏与激活感染是一个复杂的过程, 还需进一步深入研究并进行验证, 例如GATA-1/2是如何与*LUNA*基因启动子区结合位点作用的, 结合位点的缺失是否影响GATA-1/2的调控功能, 是否存在其他转录因子作用这些区域等。相信随着这些问题的逐一阐明, 将有助于全面理解HCMV潜伏和激活感染的分子机制。

参考文献(References)

- Mocarski ES, Shenk T, Pass RF. Cytomegaloviruses//Lippincott W, Wilkins. Fields Virology, 5th ed. Philadelphia, PA, USA, 2007; 2701-72.
- Ross DS, Dollard SC, Victor M, Sumartojo E, Cannon MJ. The epidemiology and prevention of congenital cytomegalovirus infection and disease: activities of the Centers for Disease Control and Prevention Workgroup. J Womens Health (Larchmt) 2006; 15(3): 224-9.
- Ma Y, Wang N, Li M, Gao S, Wang L, Zheng B, et al. Human CMV transcripts: an overview. Future Microbiol 2012; 7(5): 577-93.
- Slobedman B, Cao JZ, Avdic S, Webster B, McAllery S, Cheung AK, et al. Human cytomegalovirus latent infection and associated viral gene expression. Future Microbiol 2010; 5(6): 883-900.
- Bresnahan WA, Shenk TE. UL82 virion protein activates expression of immediate early viral genes in human cytomegalovirus-infected cells. Proc Natl Acad Sci USA 2000; 97(26): 14506-11.
- Reeves M, Sinclair J. Aspects of human cytomegalovirus latency and reactivation. Curr Top Microbiol Immunol 2008; 325: 297-313.
- Gao J, Chen YH, Peterson LC. GATA family transcriptional factors: emerging suspects in hematologic disorders. Exp Hematol Oncol 2015; 4: 28.
- 田可港, 浮苗, 高艳, 彭颖, 李祥, 郑晓群, 等. 转录因子GATA-1与人巨细胞病毒*UL111A*基因5'上游序列结合的研究. 中国病理生理杂志(Tian Kegang, Fu Miao, Gao Yan, Peng Ying, Li Xiang, Zheng Xiaoqun, et al. Binding of transcription factor GATA-1 to 5' upstream sequence of human cytomegalovirus *UL111A* gene. Chinese Journal of Pathophysiology) 2012; 28(12): 2244-9.

- 9 Kong SK, Kim BS, Uhm TG, Lee W, Lee GR, Park CS, *et al.* Different GATA factors dictate CCR3 transcription in allergic inflammatory cells in a cell type-specific manner. *J Immunol* 2013; 190(11): 5747-56.
- 10 Rice GP, Schrier RD, Oldstone MB. Cytomegalovirus infects human lymphocytes and monocytes: virus expression is restricted to immediate-early gene products. *Proc Natl Acad Sci USA* 1984; 81(19): 6134-8.
- 11 Kondo K, Kaneshima H, Mocarski ES. Human cytomegalovirus latent infection of granulocyte-macrophage progenitors. *Proc Natl Acad Sci USA* 1994; 91(25): 11879-83.
- 12 Kondo K, Xu J, Mocarski ES. Human cytomegalovirus latent gene expression in granulocyte-macrophage progenitors in culture and in seropositive individuals. *Proc Natl Acad Sci USA* 1996; 93(20): 11137-42.
- 13 Bego M, Maciejewski J, Khaiboullina S, Pari G, St Jeor S. Characterization of an antisense transcript spanning the UL81-82 locus of human cytomegalovirus. *J Virol* 2005; 79(17): 11022-34.
- 14 Goodrum FD, Jordan CT, High K, Shenk T. Human cytomegalovirus gene expression during infection of primary hematopoietic progenitor cells: a model for latency. *Proc Natl Acad Sci USA* 2002; 99(25): 16255-60.
- 15 Hargett D, Shenk TE. Experimental human cytomegalovirus latency in CD14⁺ monocytes. *Proc Natl Acad Sci USA* 2010; 107(46): 20039-44.
- 16 李琦涵, 姜 莉. 人类疱疹病毒的病原生物学. 北京: 化学工业出版社(Li Qihan, Jiang Li. Pathogenesis of Human Herpesvirus. Beijing: Chemical Industry Press), 2009, 226-41.
- 17 Reeves MB, Sinclair JH. Analysis of latent viral gene expression in natural and experimental latency models of human cytomegalovirus and its correlation with histone modifications at a latent promoter. *J Gen Virol* 2010; 91(Pt 3): 599-604.
- 18 Poole E, Walther A, Raven K, Benedict CA, Mason GM, Sinclair J. The myeloid transcription factor GATA-2 regulates the viral *UL144* gene during human cytomegalovirus latency in an isolate-specific manner. *J Virol* 2013; 87(8): 4261-71.
- 19 Poole E, McGregor Dallas SR, Colston J, Joseph RS, Sinclair J. Virally induced changes in cellular microRNAs maintain latency of human cytomegalovirus in CD34 progenitors. *J Gen Virol* 2010; 92(Pt 7): 1539-49.
- 20 Poole E, Sinclair J. Sleepless latency of human cytomegalovirus. *Med Microbiol Immunol* 2015; 204(3): 421-9.